

论著 · 临床研究 doi:10.3969/j.issn.1671-8348.2017.21.013

超声评分在膝关节类风湿关节炎中的临床意义^{*}

章春来, 张菁菁, 雷建明

(丽水市人民医院超声科,浙江丽水 323000)

[摘要] 目的 探讨膝关节类风湿关节炎超声诊断的价值及超声评分系统的临床意义。方法 收集 2013 年 7 月至 2015 年 12 月丽水市两家三级甲等综合医院膝关节类风湿关节炎患者 500 例作为观察组,另收集同期健康成人 500 例作为对照组。观察两组膝关节滑膜厚度、增生滑膜内血管检出率、超声评分、类风湿性关节炎疾病活动度评分、C 反应蛋白、红细胞沉降率、髌上囊积液、髌下囊积液、关节腔积液、膝关节软骨和骨表面情况。结果 与对照组比较,观察组膝关节滑膜厚度 [(0.50±0.19)cm vs. (0.13±0.05)cm, P=0.000]、髌上囊液体深度 [(0.62±0.27)cm vs. (0.23±0.05)cm, P=0.000]、髌下囊液体深度 [(0.58±0.12)cm vs. (0.21±0.04)cm, P=0.000]、关节腔液体深度 [(0.48±0.28)cm vs. (0.12±0.08)cm, P=0.000]、红细胞沉降率 [(43.29±12.58)mm/h vs. (12.95±4.39)mm/h, P=0.000]、C 反应蛋白水平 [(8.95±3.29)mg/L vs. (3.29±1.54)mg/L, P=0.000]、增生滑膜内血管检出率 (84.20% vs. 13.00%, P=0.000) 均明显增加。且超声评分与类风湿关节炎患者类风湿关节炎疾病活动度评分、C 反应蛋白水平、红细胞沉降率、髌上囊液体深度、髌下囊液体深度和关节腔液体深度均呈正相关 ($r=0.583, 0.258, 0.383, 0.219, 0.228, 0.248$, 均 $P<0.05$)。结论 超声在类风湿性关节炎中具有良好的诊断价值,超声评分系统可以较好地反映患者的疾病严重度。

[关键词] 膝关节; 关节炎, 类风湿; 超声检查

[中图法分类号] R445.1

[文献标识码] A

[文章编号] 1671-8348(2017)21-2923-04

Clinical significance of ultrasonic scoring system in rheumatoid knee arthritis^{*}

Zhang Chunlai, Zhang Jingjing, Lei Jianming

(Department of Ultrasound, Lishui Municipal People's Hospital, Lishui, Zhejiang 323000, China)

[Abstract] **Objective** To investigate the diagnostic values of ultrasound in rheumatoid knee arthritis and the clinical significance of ultrasonic scoring system. **Methods** From July 2013 to December 2015, 500 cases of patients with rheumatoid knee arthritis in two grade A class 3 hospitals of Lishui City were collected as the observation group and contemporaneous 500 healthy adults were collected as the control group. The knee joint synovial thickness, vascular detection rate in hyperplasia synovium, ultrasound score, rheumatoid arthritis disease activity score, erythrocyte sedimentation rate (ESR), C reactive protein (CRP), suprapatellar bursa effusion, infrapatellar bursa effusion, joint effusion, knee joint cartilage and bone surface were observed in the two groups. **Results** Compared with the control group, the observation group got a significant increase in knee joint synovial thickness [(0.50±0.19)cm vs. (0.13±0.05) cm, P=0.000]; depth of suprapatellar bursa fluid [(0.62±0.27)cm vs. (0.23±0.05) cm, P=0.000]; depth of infrapatellar bursa fluid [(0.58±0.12)cm vs. (0.21±0.04) cm, P=0.000]; joint fluid depth [(0.48±0.28)cm vs. (0.12±0.08) cm, P=0.000]; ESR [(43.29±12.58)mm/h vs. (12.95±4.39) mm/h, P=0.000]; CRP level [(8.95±3.29)mg/L vs. (3.29±1.54) mg/L, P=0.000]; vascular detection rate in hyperplasia synovium (84.20% vs. 13.00%, P=0.000). Moreover the ultrasound score was positively corrected with rheumatoid arthritis disease activity score, CRP level, ESR, suprapatellar bursa fluid depth, infrapatellar bursa fluid depth and joint fluid depth in the patients with rheumatoid arthritis ($r=0.583, 0.258, 0.383, 0.219, 0.228, 0.248$; $P<0.05$). **Conclusion** Ultrasound has good diagnostic value in the patients with rheumatoid arthritis, and the ultrasonic scoring system can better reflect the severity of the disease.

[Key words] knee joint; arthritis, rheumatoid; ultrasonography

类风湿关节炎是疼痛性的慢性炎性关节疾病,可导致严重骨骼改变及受累关节破坏^[1-2]。类风湿关节炎患者即使临床症状有所缓解,其亚临床炎症可能持续存在^[3-4]。临床早期诊断对后续病情的缓解及判断非常重要^[5]。常规 X 射线摄影技术是进展性关节损伤常用的影像学诊断技术,但是其对软组织病变和早期侵蚀性骨病变不敏感^[6-7]。超声成像不仅能发现早期软组织炎性病变(如滑膜炎、腱鞘炎和滑囊炎),还可以显示关节炎的早期骨侵蚀性病灶^[8-10]。研究表明,超声和磁共振成像(MRI)具有良好的一致性^[11-12]。退变性和炎症性关节疾病以

进行性关节破坏为特征,有效的、可重复的测量有助于及时掌握患者的病变情况,其中超声的半定量评估得到越来越多的关注,但目前国内对膝关节尚缺乏具体评分系统。

1 资料与方法

1.1 一般资料 2013 年 7 月至 2015 年 12 月收集丽水市人民医院与丽水市中心医院收治的膝关节类风湿性关节炎患者,膝关节类风湿性关节炎诊断标准^[13]: (1)晨僵;(2)至少 1 个关节活动时疼痛或压痛;(3)1 个以上关节肿胀;(4)另 1 个关节肿胀,两个关节肿胀时间间隔不超过 3 个月;(5)对称性肿胀;(6)

* 基金项目:丽水市科技计划项目(2014JYZB18)。作者简介:章春来(1975—),副主任医师,本科,主要从事超声介入与肌骨超声方面的研究。

X线片示类风湿性关节炎;(7)类风湿因子阳性;(8)骨隆起部或关节附近伸侧的皮下结节;(9)滑膜液中黏蛋白凝固不佳;(10)滑膜病理学改变;(11)皮下结节可见中心区细胞坏死等;(12)X线片示意膝关节受累;上述12项符合5项以上且持续6周以上。纳入标准:(1)符合膝关节类风湿性关节炎诊断标准;(2)年龄30~60岁;(3)同意参与本研究。排除标准:(1)膝关节核磁;(2)骨性关节炎;(3)其他膝关节病变;(4)不配合本研究或随访期间失访。根据纳入排除标准,共纳入膝关节类风湿性关节炎患者500例作为观察组,另收集同期年龄和性别匹配的健康志愿者500例作为对照组。观察组男250例,女250例;年龄30~60岁,平均(46.38±9.83)岁;对照组男250例,女250例,年龄30~60岁,平均(46.12±8.94)岁。两组性别、年龄等一般资料比较,差异无统计学意义($P>0.05$),具有可比性。所有研究对象对本研究均知情同意并签署知情同意书,本研究通过医院伦理委员会审批。

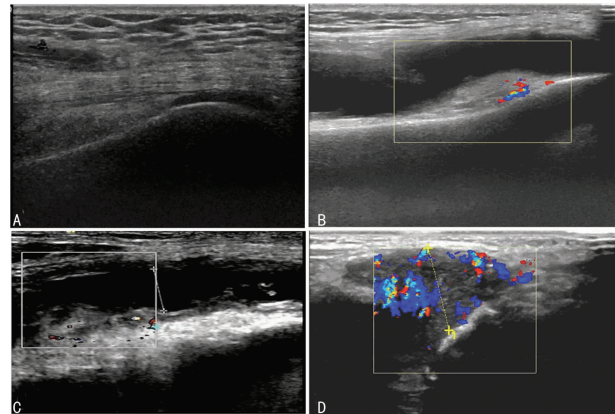
1.2 方法

1.2.1 超声检查 应用Philips IU22、GE vivid E9西门子S2000等超声诊断仪,配备常规二维超声、彩色多普勒血流显像(CDFI)、能量多普勒功能,配备宽频带高频探头,频率7~12MHz。检查时共3个体位:仰卧位腹侧和侧面扫描、俯卧位背侧扫描和膝关节中立位或30°屈曲位。检查内容:(1)检查膝关节的标准切面、髌上纵切面,显示髌上囊和股四头肌腱;(2)检查正中位的髌上横切面和最大屈曲位的髌上横切面,显示均匀无回声的透明软骨和股骨关节软骨边界清晰的内外缘;(3)检查内侧、后内、后外、侧方纵切面,可显示相关韧带副韧带、半月板等;(4)检查后方横切,显示有关节软骨的骨裸和腘窝。

1.2.2 观察指标 主要观察指标为患侧膝关节(对照组为同侧膝关节)滑膜厚度、增生滑膜内血管检出率、超声评分、类风湿关节炎疾病活动度评分、C反应蛋白、红细胞沉降率、髌上囊积液、髌下囊积液、关节腔积液、膝关节软骨和骨表面情况。

1.2.3 判定标准 根据Hartung等^[14]研究,对病变关节使用高频超声检测,根据患者关节滑膜厚度、滑膜血流、关节积液和骨侵蚀等疾病严重程度进行评分,分值范围为0~3分,0分:滑膜厚度无异常,关节腔无积液,骨表面光滑,滑膜内无彩色血流信号;1分:滑膜轻度增厚,小关节滑膜不高出两骨最高点连线水平,大关节滑膜厚度大于2mm且小于5mm,关节腔少量积液,骨表面不光滑但没有骨质缺损,滑膜内测及少数点状血流信号;2分:滑膜中度增厚,小关节滑膜凸出两骨最高点连线,未达骨干,大关节滑膜厚度5~9mm,关节腔中等积液,骨表面形成轻微骨质缺损,滑膜内测及较多点状或点线状血流信号;3分:滑膜重度增厚,小关节滑膜延伸达骨干,大关节滑膜厚度大于9mm,关节腔大量积液,骨表面骨质缺损形成广泛骨破坏,滑膜内测及丰富的树枝状或网状血流信号。各个关节的评分

相加为总分。膝关节不同超声评分的彩色多普勒超声表现见图1。



A:超声评分0分;B:超声评分1分;C:超声评分2分;D:超声评分3分

图1 不同膝关节超声评分的彩色多普勒超声表现

1.3 统计学处理 本研究中涉及的数据分析均采用SPSS22.0统计软件完成,所有检验均为双侧检验。计量资料以 $\bar{x}\pm s$ 表示,组间比较采用独立样本t检验;计数资料以例数或百分率表示,组间比较采用 χ^2 检验。采用Pearson线性相关分析超声评分与类风湿关节炎疾病活动度评分、红细胞沉降率等疾病严重度指标的相关性,以 $P<0.05$ 为差异有统计学意义。

2 结 果

2.1 两组膝关节滑膜厚度比较 与对照组比较[(0.13±0.05)cm],观察组膝关节滑膜厚度[(0.50±0.19)cm]明显增厚,差异有统计学意义($t=12.137, P=0.000$),见图2。

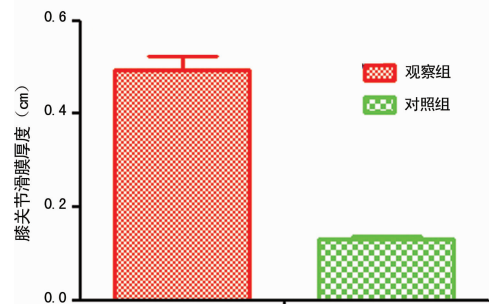


图2 两组膝关节滑膜厚度比较

2.2 两组其他观察指标比较 与对照组比较,观察组患者髌上囊液体深度、髌下囊液体深度、关节腔液体深度、红细胞沉降率、C反应蛋白水平及增生滑膜内血管检出率均明显增加,差异均有统计学意义($P<0.05$),见表1。

表1 两组其他观察指标比较($n=500$)

| 类别 | 髌上囊液体深度 ($\bar{x}\pm s$, cm) | 红细胞沉降率 ($\bar{x}\pm s$, mm/h) | 髌下囊液体深度 ($\bar{x}\pm s$, cm) | 关节腔液体深度 ($\bar{x}\pm s$, cm) | C反应蛋白 ($\bar{x}\pm s$, mg/L) | 增生滑膜内血管 检出率[n(%)] |
|------------|-----------------------------------|------------------------------------|-----------------------------------|-----------------------------------|-----------------------------------|----------------------|
| 观察组 | 0.62±0.27 | 43.29±12.58 | 0.58±0.12 | 0.48±0.28 | 8.95±3.29 | 421(84.20) |
| 对照组 | 0.23±0.05 | 12.95±4.39 | 0.21±0.04 | 0.12±0.08 | 3.29±1.54 | 65(13.00) |
| t/χ^2 | 44.378 | 28.882 | 41.295 | 29.487 | 21.583 | 507.342 |
| P | 0.000 | 0.000 | 0.000 | 0.000 | 0.000 | 0.000 |

2.3 膝关节超声评分在评价患者疾病严重度中的价值 观察组超声评分为(12.48±4.39)分,类风湿关节炎疾病活动度评分为(4.10±1.47)分。Pearson 线性相关性分析显示,超声评分与患者类风湿关节炎疾病活动度评分($r=0.583, P=0.000$)、C 反应蛋白水平($r=0.258, P=0.005$)、红细胞沉降率($r=0.383, P=0.000$)、髌上囊液体深度($r=0.219, P=0.015$)、髌下囊液体深度($r=0.228, P=0.012$)和关节腔液体深度($r=0.248, P=0.008$)均呈正相关。

3 讨 论

作为一种慢性退行性病变,膝关节类风湿关节炎主要表现为局部的慢性炎症,为自身免疫性疾病,长期的慢性炎症可导致关节功能障碍,病理表现为滑膜的增厚、关节积液等,可严重影响患者的生活质量。准确评估患者病情的严重程度对治疗具有重要的临床意义。目前常用的评估方法包括 X 射线、超声和 MRI 等。其中,X 射线对滑膜、软骨等评估价值较低;而 MRI 价格昂贵,Schmidt 等^[12]研究更是显示 MRI 在滑膜炎的诊断价值不如超声检查。既往超声检查的主要缺陷是缺乏定量或半定量分析,2012 年 Hartung 等^[14]提出了超声评分系统这一概念,综合评估患者关节滑膜厚度、滑膜血流、关节积液和骨侵蚀等情况,对类风湿关节炎患者超声检查进行定量评分。目前,国内对超声的定量分析尚处于起步阶段,本文综合分析了类风湿关节炎患者的超声诊断价值和超声评分系统在膝关节类风湿关节炎中的作用,具有一定的临床意义和创新性。

类风湿关节炎主要表现为关节积液和破坏,本研究显示使用超声可以根据患者髌上囊液体深度、关节腔液体深度、滑膜厚度、增生滑膜内血管检出率等一系列的超声表现区分类风湿关节炎患者和健康成人。另外,Pearson 线性相关性分析显示超声评分与患者类风湿关节炎疾病活动度评分、C 反应蛋白、红细胞沉降率、髌上囊液体深度、髌下囊液体深度和关节腔液体深度等均呈正相关($P<0.05$)。由于类风湿关节炎病情活动度评分与患者病情严重度紧密相关,从而被广泛应用于临床中^[15-16]。2016 年 Christensen 等^[17]研究显示,超声评分与类风湿关节炎病情活动度评分紧密相关[$\beta=0.06, 95\%CI(0.02, 0.09), P<0.01$];2016 年 Ciurton 等^[18]研究同样表明,超声评分与类风湿关节炎病情活动度紧密相关,均支持本研究结果。C 反应蛋白和红细胞沉降率等是反映患者体内炎性反应的指标,局部长期的慢性炎症是导致膝关节积液和损伤的主要原因,因此 C 反应蛋白和红细胞沉降率可以在一定程度上反映膝关节功能情况^[19-20]。本研究显示超声评分与 C 反应蛋白、红细胞沉降率呈正相关,表明超声评分可以较好地反映患者体内炎症水平。髌上囊积液、髌下囊积液和关节腔积液深度是膝关节类风湿关节炎患者疾病严重程度的主要临床表现^[21],而超声评分可以较好地反映患者局部积液情况。以上均表示,超声评分可以较好地反映膝关节类风湿关节炎患者局部损伤情况和体内炎症水平,可以对患者进行定量评估,具有较强的应用价值。此外,国外几项研究也肯定了超声评分在类风湿关节炎中的作用^[22-25]。目前我国对膝关节类风湿关节炎患者滑膜厚度缺乏定量分析,本研究显示膝关节炎类风湿关节炎患者与健康成人滑膜厚度分别为(0.50±0.19)cm 和(0.13±0.05)cm,差异有统计学意义($P=0.000$)。本研究样本量较大,因此数据可为临床超声医师提供参考。

综上所述,超声在类风湿关节炎中具有良好的诊断价值,超声评分系统可以较好地反映患者的疾病严重程度。

参考文献

- [1] Lu JQ, Ringrose J, Gross D, et al. Multifocal inflammatory demyelination in a patient with rheumatoid arthritis and treatment complications[J]. J Neurol Sci, 2016, 367(21): 305-307.
- [2] Torres Suarez E, Pinheiro R, Schrage N. Complications in the treatment of ocular surface squamous neoplasia with interferon alpha2b in rheumatoid arthritis[J]. Ophthalmologe, 2016, 112(4): 441-448.
- [3] Son KM, Kim SY, Lee SH, et al. Comparison of the disease activity score using the erythrocyte sedimentation rate and C-reactive protein levels in Koreans with rheumatoid arthritis[J]. Int J Rheum Dis, 2015, 8(5): 997-1003.
- [4] Shen R, Ren X, Jing R, et al. Rheumatoid factor, anti-cyclic citrullinated peptide antibody, C-reactive protein, and erythrocyte sedimentation rate for the clinical diagnosis of rheumatoid arthritis[J]. Lab Med, 2015, 46(3): 226-229.
- [5] Nielung L, Christensen R, Danneskiold-Samsoe B, et al. Validity and agreement between the 28-joint disease activity score based on C-reactive protein and erythrocyte sedimentation rate in patients with rheumatoid arthritis [J]. Arthritis, 2015, 20(12): 762-771.
- [6] Pfeil A, Haugeberg G, Renz DM, et al. Digital X-ray radiogrammetry and its sensitivity and specificity for the identification of rheumatoid arthritis-related cortical hand bone loss[J]. J Bone Miner Metab, 2016, 9(12): 743-752.
- [7] Popescu C, Bojinca V, Opris D, et al. Dual X-ray absorptiometry whole body composition of adipose tissue in rheumatoid arthritis[J]. Rom J Intern Med, 2015, 53(3): 237-247.
- [8] Forien M, Ottaviani S. Ultrasound and follow-up of rheumatoid arthritis[J]. Joint Bone Spine, 2016, 8(6): 1005-1011.
- [9] Gutierrez M, Pineda C, Salaffi F, et al. Is ankle involvement underestimated in rheumatoid arthritis? Results of a multicenter ultrasound study[J]. Clin Rheumatol, 2016, 35(11): 2669-2678.
- [10] Janta I, Valor L, De la Torre I, et al. Ultrasound-detected activity in rheumatoid arthritis on methotrexate therapy: Which joints and tendons should be assessed to predict unstable remission? [J]. Rheumatol Int, 2016, 36(3): 387-396.
- [11] Mathew AJ, Danda D, Conaghan PG. MRI and ultrasound in rheumatoid arthritis[J]. Curr Opin Rheumatol, 2016, 28(3): 323-329.
- [12] Schmidt WA, Schicke B, Ostendorf B, et al. Low-field MRI versus ultrasound: which is more sensitive in detecting inflammation and bone damage in MCP and MTP joints in mild or moderate rheumatoid arthritis? [J]. Clin Exp Rheumatol, 2013, 31(1): 91-96.
- [13] Singh JA, Saag KG, Bridges SL Jr, et al. 2015 American College of Rheumatology guideline for the treatment of

- Rheumatoid Arthritis [J]. *Arthritis Rheumatol*, 2016, 68(1):1-26.
- [14] Hartung W, Kellner H, Strunk J, et al. Development and evaluation of a novel ultrasound score for large joints in rheumatoid arthritis: one year of experience in daily clinical practice [J]. *Arthritis Care Res (Hoboken)*, 2012, 64(5):675-682.
- [15] Singh H, Kalra A, Talpatra P, et al. Evaluation of disease activity using DAS28-squeeze test in patients of rheumatoid arthritis [J]. *J Assoc Physicians India*, 2016, 64(1):69-77.
- [16] Lisbona MP, Solano A, Ares J, et al. ACR/EULAR definitions of remission are associated with lower residual inflammatory activity compared with DAS28 remission on hand MRI in rheumatoid arthritis [J]. *J Rheumatol*, 2016, 43(9):1631-1636.
- [17] Christensen AW, Rifbjerg-Madsen S, Christensen R, et al. Ultrasound Doppler but not temporal summation of pain predicts DAS28 response in rheumatoid arthritis: a prospective cohort study [J]. *Rheumatology (Oxford)*, 2016, 55(6):1091-1098.
- [18] Ciurin C, Wyszynski K, Clarke R, et al. Ultrasound-detected subclinical inflammation was better reflected by the disease activity score (DAS-28) in patients with suspicion of inflammatory arthritis compared to established rheumatoid arthritis [J]. *Clin Rheumatol*, 2016, 35(10):2411-2419.
- [19] Carrier N, Marotta A, de Brum-Fernandes AJ, et al. Serum levels of 14-3-3eta protein supplement C-reactive protein and rheumatoid arthritis-associated antibodies to predict clinical and radiographic outcomes in a prospective cohort of patients with recent-onset inflammatory polyarthritis [J]. *Arthritis Res Ther*, 2016, 18(37):724-731.
- [20] Wang J, Devenport J, Low JM, et al. Relationship between baseline and early changes in C-reactive protein and interleukin-6 levels and clinical response to tocilizumab in rheumatoid arthritis [J]. *Arthritis Care Res (Hoboken)*, 2016, 68(6):882-885.
- [21] Gecmen C, Gecmen GG, Kahyaoglu M, et al. Pericardial effusion due to cholesterol pericarditis in case of rheumatoid arthritis [J]. *Echocardiography*, 2016, 33(10):1614-1616.
- [22] D'Agostino MA, Boers M, Wakefield RJ, et al. Exploring a new ultrasound score as a clinical predictive tool in patients with rheumatoid arthritis starting abatacept: results from the APPRAISE study [J]. *RMD Open*, 2016, 2(1):237-244.
- [23] Aga AB, Hammer HB, Olsen IC, et al. First step in the development of an ultrasound joint inflammation score for rheumatoid arthritis using a data-driven approach [J]. *Ann Rheum Dis*, 2016, 75(8):1444-1451.
- [24] Ohrndorf S, Messerschmidt J, Reiche BE, et al. Evaluation of a new erosion score by musculoskeletal ultrasound in patients with rheumatoid arthritis: is US ready for a new erosion score? [J]. *Clin Rheumatol*, 2014, 33(9):1255-1262.
- [25] Bruyn GA, Hanova P, Iagnocco A, et al. Ultrasound definition of tendon damage in patients with rheumatoid arthritis. Results of a OMERACT consensus-based ultrasound score focussing on the diagnostic reliability [J]. *Ann Rheum Dis*, 2014, 73(11):1929-1934.

(收稿日期:2017-02-09 修回日期:2017-04-14)

(上接第 2922 页)

- 皮损处细菌学研究 [J]. *中华皮肤科杂志*, 2004, 37(10):595-597.
- [4] Goodyear HM, Watson PJ, Egan SA, et al. Skin microflora of atopic eczema in first time hospital attenders [J]. *Clin Exp Dermatol*, 1993, 18(4):300-304.
- [5] 赵辨. 特应性皮炎与金黄色葡萄球菌超抗原 [J]. *中国中西医结合皮肤性病学杂志*, 2012, 11(1):1-3.
- [6] Craft JC, Moriarty SR, Clark K, et al. A randomized, double-blind phase 2 study comparing the efficacy and safety of an oral fusidic acid loading-dose regimen to oral linezolid for the treatment of acute bacterial skin and skin structure infections [J]. *Clin Infect Dis*, 2011, 52(Suppl 7):S520-526.
- [7] 万云焱, 林殿杰, 郭海生, 等. 替考拉宁及夫西地酸治疗 MRSA 肺部感染的疗效与安全性评价 [J]. *中华医院感染学杂志*, 2011, 21(15):3240-3243.
- [8] 曹霞, 王苏平, 郑珊, 等. 2% 夫西地酸乳膏治疗儿童脓疱疮 43 例临床疗效观察 [J]. *重庆医学*, 2008, 37(12):1286-1287.

- [9] 陈国富, 张美华. 莫匹罗星软膏与夫西地酸软膏治疗细菌感染性皮肤病的疗效对比 [J]. *中国药业*, 2014, 23(22):39-40.
- [10] 路雪艳, 庞艳华, 黄二顺, 等. 糖皮质激素和抗菌药物联合外用治疗湿疹的疗效观察 [J]. *中华皮肤科杂志*, 2013, 46(1):40-42.
- [11] 张建中. 几种新的外用糖皮质激素 [J]. *中国药物应用与检测*, 2005, 2(5):30-33.
- [12] Kirkup ME, Birchall NM, Weinberg EG, et al. Acute and maintenance treatment of atopic dermatitis in children--two comparative studies with fluticasone propionate (0.05%) cream [J]. *J Dermatolog Treat*, 2003, 14(3):141-148.
- [13] Friedlander SF, Hebert AA, Allen DB, et al. Safety of fluticasone propionate cream 0.05% for the treatment of severe and extensive atopic dermatitis in children as young as 3 months [J]. *J Am Acad Dermatol*, 2002, 46(3):387-393.

(收稿日期:2017-02-13 修回日期:2017-04-18)